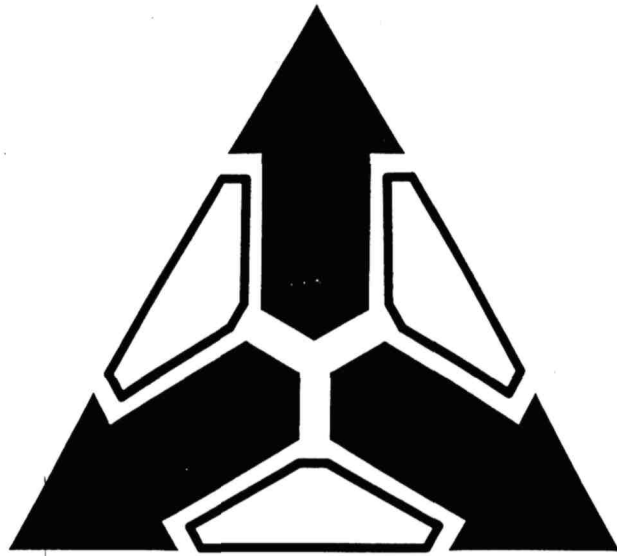


**№4
2000**

**МІЖНАРОДНИЙ
НАУКОВО-ТЕХНІЧНИЙ
ЖУРНАЛ**



**Вимірювальна та
Обчислювальна
Техніка в
Технологічних
процесах**

Вимірювальна та обчислювальна техніка в технологічних процесах

Заснований в травні 1997 р.

Виходить 4 рази на рік

Хмельницький, 2000, №4(14)

Засновники:

Технологічний університет Поділля (м. Хмельницький)

БАТ НДІ "Уконд" (м. Хмельницький)

Українська технологічна академія (м. Київ)

Видавець: Технологічний університет Поділля (м. Хмельницький)

Головний редактор І.В. Троцишин

Редакційна колегія:

О.А.Вдовін (Україна, Хмельницький), **В.І.Водотовка** (Україна, Київ),
В.А.Венгржановський (Україна, Хмельницький), **Л.І.Ганзюк** (Україна, Хмельницький), **Г.Ф.Гордієнко** (Україна, Хмельницький), **В.Б.Дудикович** (Україна, Львів), **В.М.Локазюк** (Україна, Хмельницький), **В.Г.Камбург** (Україна, Хмельницький), **С.А.Кравченко** (Росія, Санкт-Петербург), **Г.О.Козлик** (Україна, Київ), **В.П.Кожем'яко** (Україна, Вінниця), **Ф.Ф. Колпаков** (Україна, Харків) **В.Т.Кондратов** (Україна, Київ), **В.Д.Косенков** (Україна, Хмельницький), **I.В.Кузьмін** (Україна, Вінниця), **А.О.Мельник** (Україна, Львів), **Ю.Ф.Павленко** (Україна, Харків), **О.М.Петренко** (Україна, Хмельницький), **В.О.Піджаренко** (Україна, Вінниця), **[С.І. П'ятін]** (Україна, Хмельницький), **В.П.Ройzman** (Україна, Хмельницький), **В.П.Тарасенко** (Україна, Київ), **Ю.О.Скрипник** (Україна, Київ, голова редакційної колегії), **М.М.Сурду** (Україна, Київ), **Й.І.Стенцель** (Україна, Северодонецьк).

Відповідальний секретар Л.В. Троцишина

Технічний редактор Л.В. Троцишина

Редактор-коректор Є.І. Войтюк

Адреса редакції: Україна, 29016, м. Хмельницький, вул. Інститутська 11, Технологічний університет Поділля, редакція журналу "Вимірювальна та обчислювальна техніка в технологічних процесах", (кімн. 4-331), **тел:** (0382) 72-88-74.

E-mail: vottp@beta.tup.km.ua

Зареєстровано Міністерством України у справах преси та інформації
Свідоцтво про державну реєстрацію друкованого засобу масової інформації
Серія КВ №2398 від 9 січня 1997 року.

© Технологічний університет Поділля, 2000

© Редакція "Вимірювальна та обчислювальна
техніка в технологічних процесах", 1997

7. Перевозников С. И., Семеренко В. И., Ярцева О. Е. Оптимизация алгоритма синтеза проверяющих тестов для цифровых устройств// Гибридные вычислительные машины и комплексы: Сб. научн. тр. – Киев: Наукова думка. – Вып. 9. – 1986. – С.68-71.
8. Тестовий контроль цифрових пристройв для інтелектуальних систем діагностування. Навчальний посібник/ С. І. Перевозников, Т. О. Савчук – В.: ВДТУ, 2000 – 100с. Укр. мовою.

Надійшл адо редакції
31. 05. 2001 року.

УДК 621.313.004.58

В.В. Грабко, Є.Я. Блінкін, М.П. Розводюк

Вінницький державний технічний університет

СИНТЕЗ СТРУКТУРИ ІВС ДЛЯ ДІАГНОСТУВАННЯ ЕЛЕКТРОДВИГУНІВ

Надійність і довготривалість роботи електрических двигунів, які застосовуються в усіх галузях народного господарства, залежить від точності визначення їх робочого ресурсу, що залишився, обумовленого тривалими й аномальними режимами роботи.

На даний момент часу існує велика кількість методів та засобів діагностики електрических двигунів, більшість з яких базуються на визначенні стану ізоляції обмоток. Це пояснюється тим, що електричні двигуни, часто виходять з ладу внаслідок старіння або пошкодження ізоляційних матеріалів.

Існує багато методів і засобів діагностування електродвигунів, наприклад, [1-5], але вони мають ряд різних недоліків, зокрема не враховується вплив різних чинників на процес старіння ізоляції.

В роботі пропонується синтезувати інформаційно-вимірювальну систему (ІВС) для визначення робочого ресурсу електрического двигуна за станом ізоляції обмоток, реалізована з використанням методу вимірювання струму, який споживається з мережі, вимірювання температури найбільш нагрітої точки обмотки, а також врахування швидкості зміни цих параметрів.

Для синтезу ІВС застосовуємо математичний апарат секвенцій [6].

Враховуючи складність структури системи діагностики, що синтезується, в якості прикладу покажемо процес синтезу для двох значень струму I_1 та I_2 ($I_1 < I_2$), для двох значень температури t_1^0 та t_2^0 ($t_1^0 > t_2^0$), а також для двох значень добутку цих параметрів $I_1 t_1^0$ та $I_2 t_2^0$ ($I_1 t_1^0 < I_2 t_2^0$), застосовуючи апарат секвенцій.

Для фіксації вказаніх параметрів, будемо використовувати тригери. Позначимо $T_1, T_2, T_3, T_4, T_5, T_6$ – тригери, які фіксують параметри $I_1, I_2, t_1^0, t_2^0, I_1 t_1^0, I_2 t_2^0$ відповідно. Оскільки при різних значеннях температури та струму в лічильник залишкового ресурсу двигуна повинні поступати різні послідовності імпульсів, то для формування цих імпульсів в ІВС введемо генератори імпульсів, які реалізовані на тригерах з відповідними елементами часової затримки на перемикання (τ_1 і τ_2 у відповідності з T_1 ; τ_3 і τ_4 у відповідності з T_2 ; τ_5 і τ_6 у відповідності з T_3 ; τ_7 і τ_8 у відповідності з T_4 ; τ_9 і τ_{10} у відповідності з T_5 ; τ_{11} і τ_{12} у відповідності з T_6 , причому параметри $\tau_1, \tau_3, \tau_5, \tau_7, \tau_9, \tau_{11}$ характеризують тривалість одного імпульсу, а $\tau_2, \tau_4, \tau_6, \tau_8, \tau_{10}, \tau_{12}$ – паузи між імпульсами за умови $\tau_1 = \tau_2 = \tau_3 = \tau_4 = \tau_5 = \tau_6 = \tau_7 = \tau_8 = \tau_9 = \tau_{10} = \tau_{11} = \tau_{12}$.

Для запам'ятовування імпульсів введемо тригери T_7, T_8, T_9, T_{10} , з допомогою яких моделюється лічильник імпульсів врахування залишкового ресурсу двигуна.

З метою обнулення тригерів T_7-T_{10} і підготовки їх до робочого циклу в граф функціонування системи діагностики добавимо ще одну гілку, що описує сигнал p , який подається в структуру системи діагностики в момент подачі напруги живлення. Логічна змінна виходу $y=0$, коли ізоляція обмоток електродвигуна знаходитьться ще в межах норми. В протилежному випадку $y=1$.

З врахуванням викладених міркувань граф функціонування ІВС діагностування електродвигуна має вигляд, приведений на рис. 1.

На цьому рисунку числоми (від 0 до 28)

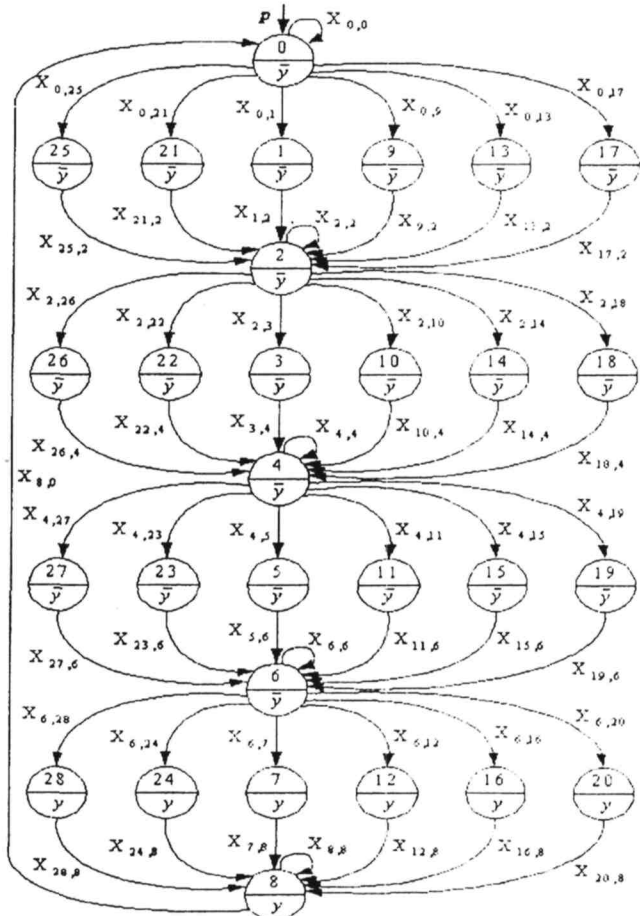


Рис. 1. Граф функціонування ІВС діагностування електродвигуна

позначені стани (наприклад, цифрі 0 відповідає стан S_0); \bar{y} або \bar{y} - вихідна змінна. Позначимо X_{ij} - узагальнена вхідна змінна, при якій система переходить із стану S_i в стан S_j .

Аналітично функціонування IBC діагностування електродвигуна може бути описано системою секвенцій

$$\left\{ \begin{array}{l} p \vdash S_0; \quad X_{8,0}S_8 \vdash S_{11}; \quad X_{15,6}S_{15} \vdash S_6; \quad X_{22,4}S_{22} \vdash S_4; \\ X_{0,0}S_0 \vdash S_0; \quad X_{0,9}S_0 \vdash S_9; \quad X_{6,16}S_6 \vdash S_{16}; \quad X_{4,23}S_4 \vdash S_{23}; \\ X_{0,1}S_0 \vdash S_1; \quad X_{9,2}S_9 \vdash S_2; \quad X_{16,8}S_{16} \vdash S_8; \quad X_{23,6}S_{23} \vdash S_6; \\ X_{1,2}S_1 \vdash S_2; \quad X_{2,10}S_2 \vdash S_{10}; \quad X_{0,17}S_0 \vdash S_{17}; \quad X_{6,24}S_6 \vdash S_{24}; \\ X_{2,2}S_2 \vdash S_2; \quad X_{10,4}S_{10} \vdash S_4; \quad X_{17,2}S_{17} \vdash S_2; \quad X_{24,8}S_{24} \vdash S_8; \\ X_{2,3}S_2 \vdash S_3; \quad X_{4,11}S_4 \vdash S_{11}; \quad X_{2,18}S_2 \vdash S_{18}; \quad X_{0,25}S_0 \vdash S_{25}; \\ X_{3,4}S_3 \vdash S_4; \quad X_{11,6}S_{11} \vdash S_6; \quad X_{18,4}S_{18} \vdash S_4; \quad X_{25,2}S_{25} \vdash S_2; \\ X_{4,4}S_4 \vdash S_4; \quad X_{6,12}S_6 \vdash S_{12}; \quad X_{4,19}S_4 \vdash S_{19}; \quad X_{2,26}S_2 \vdash S_{26}; \\ X_{4,5}S_4 \vdash S_5; \quad X_{12,8}S_{12} \vdash S_8; \quad X_{19,6}S_{19} \vdash S_6; \quad X_{26,4}S_{26} \vdash S_4; \\ X_{5,6}S_0 \vdash S_6; \quad X_{0,13}S_0 \vdash S_{13}; \quad X_{6,20}S_6 \vdash S_{20}; \quad X_{4,27}S_4 \vdash S_{27}; \\ X_{6,6}S_6 \vdash S_6; \quad X_{13,2}S_{13} \vdash S_2; \quad X_{20,8}S_{20} \vdash S_8; \quad X_{27,6}S_{27} \vdash S_6; \\ X_{6,7}S_6 \vdash S_7; \quad X_{2,14}S_2 \vdash S_{14}; \quad X_{0,21}S_0 \vdash S_{21}; \quad X_{6,28}S_6 \vdash S_{28}; \\ X_{7,8}S_7 \vdash S_8; \quad X_{14,4}S_{14} \vdash S_4; \quad X_{21,2}S_{11} \vdash S_2; \quad X_{28,8}S_{28} \vdash S_8; \\ X_{8,8}S_8 \vdash S_8; \quad X_{4,15}S_4 \vdash S_{15}; \quad X_{22}S_2 \vdash S_{22}; \\ S_7 \vee S_8 \vee S_{12} \vee S_{16} \vee S_{20} \vee S_{24} \vee S_{28} \vdash y; \\ S_0 \vee S_1 \vee S_2 \vee S_3 \vee S_4 \vee S_5 \vee S_6 \vee S_9 \vee S_{10} \vee S_{11} \vee S_{13} \vee S_{14} \vee \\ \vee S_{15} \vee S_{17} \vee S_{18} \vee S_{19} \vee S_{21} \vee S_{22} \vee S_{23} \vee S_{25} \vee S_{26} \vee S_{27} \vdash \bar{y}. \end{array} \right. \quad (1)$$

за умови

$$\left\{ \begin{array}{l} \overline{T_1 T_2 T_3 T_4 T_5 T_6 T_7 T_8 T_9 T_{10}} \in S_0; \quad \overline{T_1 T_2 T_3 T_4 T_5 T_6 T_7 T_8 T_9 T_{10}} \in S_{15}; \\ \overline{T_1 T_2 T_3 T_4 T_5 T_6 T_7 T_8 T_9 T_{10}} \in S_1; \quad \overline{T_1 T_2 T_3 T_4 T_5 T_6 T_7 T_8 T_9 T_{10}} \in S_{16}; \\ \overline{T_1 T_2 T_3 T_4 T_5 T_6 T_7 T_8 T_9 T_{10}} \in S_2; \quad \overline{T_1 T_2 T_3 T_4 T_5 T_6 T_7 T_8 T_9 T_{10}} \in S_{17}; \\ \overline{T_1 T_2 T_3 T_4 T_5 T_6 T_7 T_8 T_9 T_{10}} \in S_3; \quad \overline{T_1 T_2 T_3 T_4 T_5 T_6 T_7 T_8 T_9 T_{10}} \in S_{18}; \\ \overline{T_1 T_2 T_3 T_4 T_5 T_6 T_7 T_8 T_9 T_{10}} \in S_4; \quad \overline{T_1 T_2 T_3 T_4 T_5 T_6 T_7 T_8 T_9 T_{10}} \in S_{19}; \\ \overline{T_1 T_2 T_3 T_4 T_5 T_6 T_7 T_8 T_9 T_{10}} \in S_5; \quad \overline{T_1 T_2 T_3 T_4 T_5 T_6 T_7 T_8 T_9 T_{10}} \in S_{20}; \\ \overline{T_1 T_2 T_3 T_4 T_5 T_6 T_7 T_8 T_9 T_{10}} \in S_6; \quad \overline{T_1 T_2 T_3 T_4 T_5 T_6 T_7 T_8 T_9 T_{10}} \in S_{21}; \\ \overline{T_1 T_2 T_3 T_4 T_5 T_6 T_7 T_8 T_9 T_{10}} \in S_7; \quad \overline{T_1 T_2 T_3 T_4 T_5 T_6 T_7 T_8 T_9 T_{10}} \in S_{22}; \\ \overline{T_1 T_2 T_3 T_4 T_5 T_6 T_7 T_8 T_9 T_{10}} \in S_8; \quad \overline{T_1 T_2 T_3 T_4 T_5 T_6 T_7 T_8 T_9 T_{10}} \in S_{23}; \\ \overline{T_1 T_2 T_3 T_4 T_5 T_6 T_7 T_8 T_9 T_{10}} \in S_9; \quad \overline{T_1 T_2 T_3 T_4 T_5 T_6 T_7 T_8 T_9 T_{10}} \in S_{24}; \\ \overline{T_1 T_2 T_3 T_4 T_5 T_6 T_7 T_8 T_9 T_{10}} \in S_{10}; \quad \overline{T_1 T_2 T_3 T_4 T_5 T_6 T_7 T_8 T_9 T_{10}} \in S_{25}; \\ \overline{T_1 T_2 T_3 T_4 T_5 T_6 T_7 T_8 T_9 T_{10}} \in S_{11}; \quad \overline{T_1 T_2 T_3 T_4 T_5 T_6 T_7 T_8 T_9 T_{10}} \in S_{26}; \\ \overline{T_1 T_2 T_3 T_4 T_5 T_6 T_7 T_8 T_9 T_{10}} \in S_{12}; \quad \overline{T_1 T_2 T_3 T_4 T_5 T_6 T_7 T_8 T_9 T_{10}} \in S_{27}; \\ \overline{T_1 T_2 T_3 T_4 T_5 T_6 T_7 T_8 T_9 T_{10}} \in S_{13}; \quad \overline{T_1 T_2 T_3 T_4 T_5 T_6 T_7 T_8 T_9 T_{10}} \in S_{28}. \\ \overline{T_1 T_2 T_3 T_4 T_5 T_6 T_7 T_8 T_9 T_{10}} \in S_{14}; \end{array} \right. \quad (2)$$

та

$$\left\{
 \begin{array}{l}
 X_{0,0} = \overline{I_1} \overline{I_2} \overline{t_1^0} \overline{t_2^0} \overline{I_1 t_1^0} \overline{I_2 t_2^0}; \\
 X_{0,1} = I_1 \overline{I_2} \overline{t_1^0} \overline{t_2^0} \overline{I_1 t_1^0} \overline{I_2 t_2^0} \tau_2; \\
 X_{1,2} = \tau_1; \\
 X_{2,2} = \overline{I_1} \overline{I_2} \overline{t_1^0} \overline{t_2^0} \overline{I_1 t_1^0} \overline{I_2 t_2^0}; \\
 X_{2,3} = I_1 \overline{I_2} \overline{t_1^0} \overline{t_2^0} \overline{I_1 t_1^0} \overline{I_2 t_2^0} \tau_2; \\
 X_{3,4} = \tau_1; \\
 X_{4,4} = \overline{I_1} \overline{I_2} \overline{t_1^0} \overline{t_2^0} \overline{I_1 t_1^0} \overline{I_2 t_2^0}; \\
 X_{4,5} = I_1 \overline{I_2} \overline{t_1^0} \overline{t_2^0} \overline{I_1 t_1^0} \overline{I_2 t_2^0} \tau_2; \\
 X_{5,6} = \tau_1; \\
 X_{6,6} = \overline{I_1} \overline{I_2} \overline{t_1^0} \overline{t_2^0} \overline{I_1 t_1^0} \overline{I_2 t_2^0}; \\
 X_{6,7} = I_1 \overline{I_2} \overline{t_1^0} \overline{t_2^0} \overline{I_1 t_1^0} \overline{I_2 t_2^0} \tau_2; \\
 X_{7,8} = \tau_1; \\
 X_{8,8} = \overline{I_1} \overline{I_2} \overline{t_1^0} \overline{t_2^0} \overline{I_1 t_1^0} \overline{I_2 t_2^0}; \\
 X_{8,0} = p; \\
 X_{0,9} = \overline{I_1} \overline{I_2} \overline{t_1^0} \overline{t_2^0} \overline{I_1 t_1^0} \overline{I_2 t_2^0} \tau_4; \\
 X_{9,2} = \tau_3; \\
 X_{2,10} = \overline{I_1} \overline{I_2} \overline{t_1^0} \overline{t_2^0} \overline{I_1 t_1^0} \overline{I_2 t_2^0} \tau_4; \\
 X_{10,4} = \tau_3; \\
 X_{4,11} = \overline{I_1} \overline{I_2} \overline{t_1^0} \overline{t_2^0} \overline{I_1 t_1^0} \overline{I_2 t_2^0} \tau_4; \\
 X_{11,6} = \tau_3; \\
 X_{6,12} = \overline{I_1} \overline{I_2} \overline{t_1^0} \overline{t_2^0} \overline{I_1 t_1^0} \overline{I_2 t_2^0} \tau_4; \\
 X_{12,8} = \tau_3; \\
 X_{0,13} = \overline{I_1} \overline{I_2} \overline{t_1^0} \overline{t_2^0} \overline{I_1 t_1^0} \overline{I_2 t_2^0} \tau_6; \\
 X_{13,2} = \tau_5; \\
 X_{2,14} = \overline{I_1} \overline{I_2} \overline{t_1^0} \overline{t_2^0} \overline{I_1 t_1^0} \overline{I_2 t_2^0} \tau_6; \\
 X_{14,4} = \tau_5; \\
 X_{4,15} = \overline{I_1} \overline{I_2} \overline{t_1^0} \overline{t_2^0} \overline{I_1 t_1^0} \overline{I_2 t_2^0} \tau_6; \\
 X_{15,6} = \tau_5; \\
 X_{6,16} = \overline{I_1} \overline{I_2} \overline{t_1^0} \overline{t_2^0} \overline{I_1 t_1^0} \overline{I_2 t_2^0} \tau_6; \\
 X_{16,8} = \tau_5; \\
 X_{0,17} = \overline{I_1} \overline{I_2} \overline{t_1^0} \overline{t_2^0} \overline{I_1 t_1^0} \overline{I_2 t_2^0} \tau_8; \\
 X_{17,2} = \tau_7; \\
 X_{2,18} = \overline{I_1} \overline{I_2} \overline{t_1^0} \overline{t_2^0} \overline{I_1 t_1^0} \overline{I_2 t_2^0} \tau_8; \\
 X_{18,4} = \tau_7; \\
 X_{4,19} = \overline{I_1} \overline{I_2} \overline{t_1^0} \overline{t_2^0} \overline{I_1 t_1^0} \overline{I_2 t_2^0} \tau_8; \\
 X_{19,6} = \tau_7; \\
 X_{6,20} = \overline{I_1} \overline{I_2} \overline{t_1^0} \overline{t_2^0} \overline{I_1 t_1^0} \overline{I_2 t_2^0} \tau_8; \\
 X_{20,8} = \tau_7; \\
 X_{0,21} = \overline{I_1} \overline{I_2} \overline{t_1^0} \overline{t_2^0} \overline{I_1 t_1^0} \overline{I_2 t_2^0} \tau_{10}; \\
 X_{21,2} = \tau_9; \\
 X_{2,22} = \overline{I_1} \overline{I_2} \overline{t_1^0} \overline{t_2^0} \overline{I_1 t_1^0} \overline{I_2 t_2^0} \tau_{10}; \\
 X_{22,4} = \tau_9; \\
 X_{4,23} = \overline{I_1} \overline{I_2} \overline{t_1^0} \overline{t_2^0} \overline{I_1 t_1^0} \overline{I_2 t_2^0} \tau_{10}; \\
 X_{23,6} = \tau_9; \\
 X_{6,24} = \overline{I_1} \overline{I_2} \overline{t_1^0} \overline{t_2^0} \overline{I_1 t_1^0} \overline{I_2 t_2^0} \tau_{10}; \\
 X_{24,8} = \tau_9; \\
 X_{0,25} = \overline{I_1} \overline{I_2} \overline{t_1^0} \overline{t_2^0} \overline{I_1 t_1^0} \overline{I_2 t_2^0} \tau_{12}; \\
 X_{25,2} = \tau_{11}; \\
 X_{2,26} = \overline{I_1} \overline{I_2} \overline{t_1^0} \overline{t_2^0} \overline{I_1 t_1^0} \overline{I_2 t_2^0} \tau_{12}; \\
 X_{26,4} = \tau_{11}; \\
 X_{4,27} = \overline{I_1} \overline{I_2} \overline{t_1^0} \overline{t_2^0} \overline{I_1 t_1^0} \overline{I_2 t_2^0} \tau_{12}; \\
 X_{27,6} = \tau_{11}; \\
 X_{6,28} = \overline{I_1} \overline{I_2} \overline{t_1^0} \overline{t_2^0} \overline{I_1 t_1^0} \overline{I_2 t_2^0} \tau_{12}; \\
 X_{28,8} = \tau_{11}.
 \end{array}
 \right. \quad (3)$$

Підставимо вирази (2) і (3) в (1) і здійснимо перетворення згідно [6]. В результаті отримаємо мінімізовану систему секвенцій:

$$\left\{
 \begin{array}{l}
 I_1 \tau_4 \overline{T_1} \vdash T_1; \quad \tau_9 T_5 \vdash \overline{T_5}; \\
 I_2 \tau_4 \overline{T_2} \vdash \overline{T_2}; \quad I_2 t_2^0 \tau_{12} \overline{T_6} \vdash T_6; \\
 \tau_1 T_1 \vdash T_2; \quad \tau_{11} T_6 \vdash \overline{T_6}; \\
 \tau_3 T_2 \vdash \overline{T_2}; \quad T_1 \vee T_2 \vee T_3 \vee T_4 \vee T_5 \vee T_6 \vdash T_7; \\
 \overline{t_1^0 t_2^0 T_3} \vdash T_1; \quad \tau^{12}(T_1 \vee T_2 \vee T_3 \vee T_4 \vee T_5 \vee T_6) T_7 \vdash T_8; \\
 \tau^2 T_3 \vdash T_1; \quad \tau^{12}(T_1 \vee T_2 \vee T_3 \vee T_4 \vee T_5 \vee T_6) T_8 \vdash T_9; \\
 t_2^0 \tau^2 T_4 \vdash T_2; \quad \tau^{12}(T_1 \vee T_2 \vee T_3 \vee T_4 \vee T_5 \vee T_6) T_9 \vdash T_{10}; \\
 \tau^2 T_4 \vdash T_2; \quad \tau^{12}(T_1 \vee T_2 \vee T_3 \vee T_4 \vee T_5 \vee T_6) T_{10} \vdash T_{11}; \\
 \overline{t_1^0 t_2^0 T_4} \vdash T_1; \quad p \vdash T_7 T_8 T_9 T_{10}; \\
 \tau_5 T_6 \vdash T_5; \quad T_7 T_8 T_9 T_{10} \vdash \nu.
 \end{array}
 \right. \quad (4)$$

На основі отриманої системи секвенцій (4) синтезуємо структурну схему ІВС діагнозування електричного двигуна. В результаті отримаємо схему, яка зображена на рис. 2.

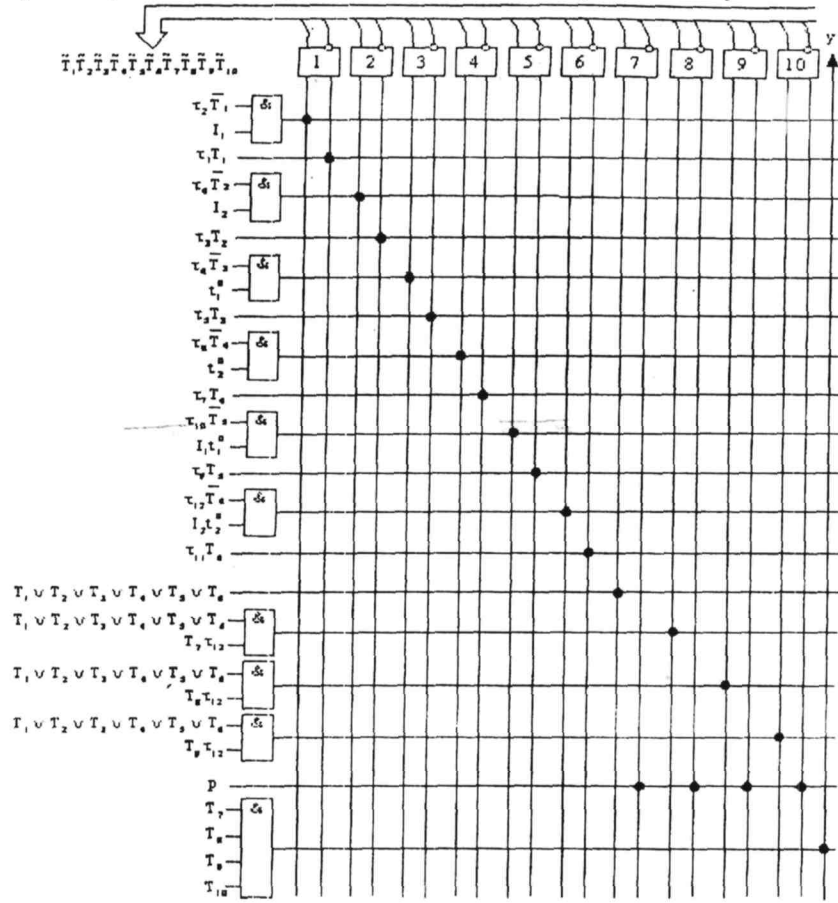


Рис.2. Структурна схема ІВС діагностування електричного двигуна

Перетворимо схему до вигляду, зручного для реалізації з використанням промислових елементів. Отримаємо схему (рис. 3).

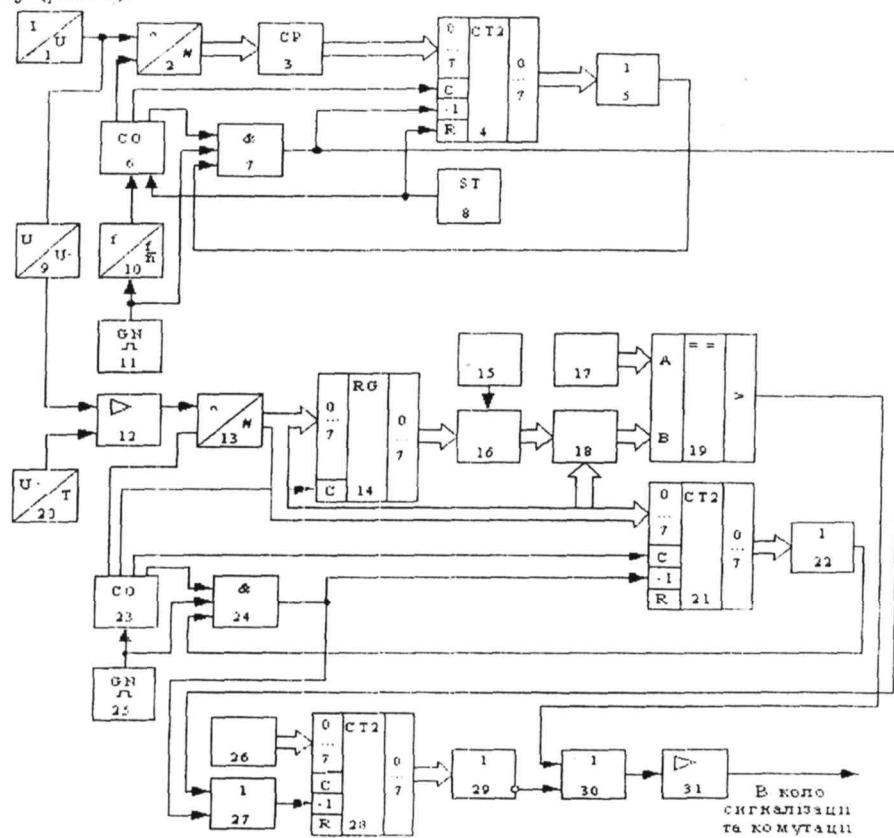


Рис.3. Структурна схема системи діагностування електричного двигуна

На схемі: 1-датчик струму, 2- АЦП, 3- функціональний перетворювач, 4- лічильник імпульсів, 5- елемент АБО, 6- розподільник тактів, 7- елемент I, 8- блок встановлення нуля, 9- перетворювач синусоїдної напруги в постійну, 10- дільник частоти, 11- генератор імпульсів, 12- диференціальний підсилювач, 13- АЦП, 14-регистр з інверсними виходами, 15- задавач коду, 16, 18- суматори, 17- задавач швидкості зміни температури, 19- цифровий компаратор, 20- датчик температури, 21- лічильник імпульсів, 22- елемент АБО, 23- розподільник тактів, 24- елемент I, 25- генератор імпульсів, 26- задавач ресурсу двигуна, 27- елемент АБО, 28- двійковий лічильник ресурсу, 29- елемент АБО-НІ, 30- елемент АБО, 31- підсилювач сигналу.

Працює IBC діагностування електричного двигуна таким чином. При подачі напруги живлення на схему блок встановлення нуля 8 коротким імпульсом переводить в нульовий стан лічильник імпульсів 4.

Одночасно на виходах першого 11, другого 25 генераторів імпульсів починають генеруватися послідовності імпульсів.

Припускається, що в блоці 17 записане допустиме значення швидкості зміни температури, в блоці 26 - в цифровому вигляді записане значення робочого ресурсу електричного двигуна. Датчик струму 1 встановлюється в колі вмикання двигуна, а датчик температури 20 - у найбільш нагрітій точці двигуна.

У частині схеми, що містить блоки 1-8, 10, 11 здійснюється вимірювання значення струму, спожитого електродвигуном, і його перерахунок у видлене тепло з подальшим урахуванням його в зміні залишкового ресурсу двигуна. Керує роботою цієї частини схеми розподільник тактів 6. У кожному циклі вимірювання імпульси генератора 11 надходять із виходу елемента I 7 у схему контролю залишкового ресурсу електродвигуна (елементи 26-29) доти, поки лічильник 4 не обнулиться.

Якщо температура двигуна не перевищує допустимих значень, то канал вимірювання температури (елементи 9, 12-25) закритий.

У випадку перевищення температурою допустимого значення з виходу елемента I 24 у схему контролю залишкового ресурсу двигуна надходять імпульси, що відповідають додатковому тепловому зносу його ізоляції. Синхронізує роботу цієї частини схеми розподільник тактів 23, керований генератором імпульсів 25. Крім того, тут передбачений контроль за швидкістю зміни температури, і якщо це значення перевищує допустиме, то з виходу цифрового компаратора 19 сигнал через елемент АБО 30 і підсилювач сигналу 31 подається на відключення електродвигуна від мережі.

Якщо імпульси, що надходять на вхід лічильника 28, обнулять його, що свідчить про вичерпання ресурсу роботи двигуна, останній відключається від мережі сигналом, поданим із виходу елемента АБО 29 через елементи 30 і 31, або ж видається попереджувальний сигнал експлуатаційному персоналу.

Висновок

На базі математичного апарату секвенцій синтезована структурна схема IBC діагностування електродвигунів.

Література

1. А.с. 498635 (ССР). Устройство для контроля работы машин/В.И. Морозов, Г.И. Солод, В.Н. Правоторов, А.И. Зворыгин//Бюл.изобр.- 1976.- № 1.
2. А.с. 655976 (ССР). Счетчик износа изоляции/В.В. Овчаров//Бюл. изобр.- 1979.- № 13.
3. А.с. 720444 (ССР). Устройство для определения ресурса машин/А.Е. Лифшиц, А.М. Тарасов, В.Ф. Грибов, Г.И. Солод, Ю.Д. Красников//Бюл. изобр.- 1980.- № 9.
4. А.с. 980111 (ССР) Устройство для контроля работы машин/А.В. Рассказчиков, В.А. Савельев, В.Н. Шостаков, А.А. Чижов//Бюл. изобр. -1982.- №45.
5. А.с. 1381560 (ССР). Устройство для контроля работы электрических машин/В.Л. Савченко, В.Д. Лигай, Ю.П. Зориков//Бюл. изобр. -1988.- №10.
6. Захаров В.Н. Автоматы с распределенной памятью.- М.: "Энергия", 1975.- 136 с.

Надійшла до редакції
31. 05. 2001 року.

УДК 681. 325

В.Г. Красиленко, А.В. Грабчак, В.И. Яцковский, С. И. Волынец, А. Фельфель

Винницький державний технічний університет

СТРУКТУРНО-СХЕМОТЕХНИЧЕСКИЕ АСПЕКТЫ ПОСТРОЕНИЯ МОРФОЛОГИЧЕСКИХ ОПЕРАЦИОННЫХ УСТРОЙСТВ КАРТИННОГО ТИПА И НЕЙРОПОДОБНЫХ ОБРАБАТЫВАЮЩИХ ВЫЧИСЛИТЕЛЬНЫХ СРЕД

При обробці зображеній (фотографій, видеосигналов и т.д.) во многих случаях применение традиционных классических подходов, основанных на теории линейных систем и на преобразовании Фурье (а также ему подобных других спектральных преобразованиях), ограничено